ПОРАЖЕНИЕ ЦЕНТРАЛЬНОЙ НЕРВНОЙ СИСТЕМЫ ПРИ IGG4-АССОЦИИРОВАННОМ СИСТЕМНОМ ЗАБОЛЕВАНИИ: ОБЗОР ЛИТЕРАТУРЫ

В.А. Смирнов, А.А. Гринь

ГБУЗ «Научно-исследовательский институт скорой помощи им. Н.В. Склифосовского Департамента здравоохранения г. Москвы»; Россия, 129090 Москва, Большая Сухаревская пл., 3

Контакты: Владимир Александрович Смирнов vla_smirnov@mail.ru

IgG4-ассоциированное заболевание — недавно открытая патология, характеризующаяся поражением нескольких органов и выделенная как новая нозология только в 2012 г. Его этиология и патогенез во многом остаются непонятными, однако результаты
многих исследований позволяют рассматривать его как уникальный патологический аутоиммунный процесс, в который вовлечены различные органы и ткани. Изначально IgG4-ассоциированным заболеванием считали исключительно поражение поджелудочной железы и формулировали диагноз как «аутоиммунный IgG4-ассоциированный панкреатит». Но в последние годы появились
данные, свидетельствующие о вовлечении в патологический процесс иных систем органов, в том числе центральной нервной
системы. Критерии диагностики постоянно совершенствуются, позволяя относить к IgG4-ассоциированному заболеванию случаи, которые ранее расценивались как иные виды патологии. В данном обзоре представлены имеющиеся на сегодняшний день
данные об этиологии и патогенезе, критериях диагностики IgG4-ассоциированного заболевания, а также о потенциальных формах поражения структур центральной нервной системы.

Ключевые слова: IgG4-ассоциированное заболевание, системное поражение, аутоиммунное заболевание, пахименингит, гипофизит

Для цитирования: Смирнов В.А., Гринь А.А. Поражение центральной нервной системы при IgG4-ассоциированном системном заболевании: обзор литературы. Нейрохирургия 2020;22(3):84—101.

DOI: 10.17650/1683-3295-2020-22-3-84-101



Central nervous system damage in IgG4-related disease: review

V.A. Smirnov, A.A. Grin

N.V. Sklifosovsky Research Institute for Emergency Medicine, Moscow Healthcare Department; 3 Bolshaya Sukharevskaya Sq., Moscow 129090, Russia

IgG4-related disease is a new and recently described and determined disease involving multiple organs. Its etiology and pathogenesis are still not fully understood. However according to multiple studies this disease should be considered as a unique pathological autoimmune unity involving various organs and tissues. IgG4-related disease was first considered as a form of pancreatic inflammatory process and diagnosed as IgG4-related autoimmune pancreatitis. However current data demonstrate the potential involvement of almost all tissues and organs including central nervous system. Diagnostic criteria are being reviewed annually resulting in IgG4-related disease diagnosis in many considered differently cases. This review presents current literature data related to IgG4-related disease etiology and pathogenesis, diagnostic criteria and potential forms of central nervous system IgG4-related injury.

Key words: IgG4-related disease, systemic lesion, autoimmune disease, pachymeningitis, hypophysitis

For citation: Smirnov V.A., Grin A.A. Central nervous system damage in IgG4-related disease: review. Neyrokhirurgiya = Russian Journal of Neurosurgery 2020;22(3):84–101. (In Russ.).

ВВЕДЕНИЕ

В последние годы исследователи и практические врачи обращают все больше внимания на новую патологию — так называемое IgG4-ассоциированное сис-

темное заболевание (IgG4-AC3). Данная патология была выделена как самостоятельная нозология менее 10 лет назад. IgG4-AC3 характеризуется диффузным или очаговым воспалительным поражением органов

и тканей плазматическими клетками, экспрессирующими иммуноглобулин G4 (IgG4), с последующим развитием облитерирующего флебита и фибросклероза этих органов и сопровождается повышением содержания IgG4 в сыворотке крови. Активность заболевания варьирует, при этом может иметь место поражение как одного органа, так и двух и более органов одной или нескольких систем [1].

Ранее использовалось несколько терминов для обозначения данного заболевания: IgG4-ассоциированная системная склерозирующая болезнь (IgG4-related systemic sclerosing disease) [2], системный IgG4-ассоциированный плазмоцитарный синдром (systemic IgG4-related plasmacytic syndrome) [3], IgG4-позитивный мультиорганный лимфопролиферативный синдром (IgG4-positive multi-organ lymphoproliferative syndrome) [4]. Лишь в 2012 г. на I Международном симпозиуме, посвященном IgG4-ассоциированным заболеваниям, который прошел в Бостоне (США) под председательством проф. D. Stone из клиники Массачусетса, были приняты диагностические критерии и номенклатура болезни (табл. 1). При этом было предложено использовать единое название для обозначения всех известных на тот момент проявлений, затрагивающих различные системы и органы, - IgG4-AC3, или IgG4-ассоциированная болезнь [5].

ЭВОЛЮЦИЯ ПРЕДСТАВЛЕНИЙ O IgG4-ACCOЦИИРОВАННОМ СИСТЕМНОМ ЗАБОЛЕВАНИИ

Заболевания, которые впоследствии объединят под диагнозом IgG4-AC3, были впервые описаны еще в конце XIX в.: в 1892 г. Д. Микулич описал случай симметричного опухолевого поражения слезных, околоушных и поднижнечелюстных слюнных желез [6].

В дальнейшем было установлено, что процесс имеет не опухолевую, а воспалительную природу и связан с выраженной мононуклеарной инфильтрацией пораженных органов. Данную патологию позднее назвали болезнью Микулича и рассматривали как одну из форм синдрома Шегрена. В 1896 г. аналогичный случай был описан Н. Kuttner [7].

Выделение IgG4-AC3 как самостоятельной нозологии во многом обусловлено исследованиями воспалительных заболеваний поджелудочной железы, а точнее аутоиммунного панкреатита (АИП). На протяжении многих лет IgG4-AC3 рассматривали только как патологию поджелудочной железы, однако совсем недавно—с конца 2000-х годов—получены доказательства распространенного характера заболевания и наличия его проявлений в других системах органов, в том числе в центральной нервной системе.

В середине XX в. активное изучение этиологии и патогенеза хронического панкреатита стало предпосылкой к появлению аутоиммунной теории его развития [8]. В 1961 г. Н. Sarles и соавт. описали случай панкреатита у пациента с выраженной гипергаммаглобулинемией, воспалительной инфильтрацией и склерозом паренхимы железы [9]. Впоследствии эта патология была названа АИП [5]. В конце 1960-х годов был впервые описан случай семейного мультифокального фибросклероза с развитием очагов медиастинального и ретроперитонеального фиброза, склерозирующего холангита, тиреоидита и псевдоопухоли глазницы без вовлечения в процесс поджелудочной железы [10]. По современным представлениям, этот случай можно расценивать как проявление именно IgG4-AC3. В 1975 г. R. Waldrem описал семейный случай сочетанного поражения поджелудочной железы и печеночных протоков у брата и сестры, также квалифицированный как

Таблица 1. Номенклатура системных проявлений IgG4-ассоциированного системного заболевания для отдельных органных поражений (Stone J. H. и соавт. в модификации K. Okazaki и соавт. [5] с исправлениями)

Table 1. Nomenclature for individual organ system manifestations of IgG4-related systemic disease (Stone J. H. et al., as modified by K. Okazaki et al. [5], with corrections)

Орган, система, ткань Organ, system, tissue	Предпочтительное название Preferred name
Поджелудочная железа Pancreas	Аутоиммунный панкреатит (АИП) I типа (IgG4-ассоциированный АИП, или IgG4-АИП) Type I autoimmune pancreatitis (AIP) (IgG4-related AIP or IgG4-AIP)
Глаз Еуе	IgG4-ассоциированное офтальмологическое заболевание — общий термин для периокулярной манифестации IgG4-ассоциированного системного заболевания. Выделено множество подтипов, некоторые характеристики которых приведены ниже IgG4-related ophthalmic disease is the general term for the peri-ocular manifestations of this disease. There are several subsets, outlined below
Слезные железы Lacrimal glands	IgG4-ассоциированный дакриоаденит IgG4-related dacryoadenitis
Мягкие ткани глазницы Orbital soft tissue	IgG4-ассоциированное воспаление тканей глазницы (воспалительная псевдоопухоль глазницы) IgG4-related orbital inflammation (orbital inflammatory pseudotumor)
Мышцы глазницы Extra-ocular muscle	IgG4-ассоциированный миозит глазницы IgG4-related orbital myositis

Окончание таблицы 1

End of the table 1

Орган, система, ткань Organ, system, tissue	Предпочтительное название Preferred name
Ткани глазницы с вовлечением иных анатомических структур Orbit with involvement of multiple anatomic structures	IgG4-ассоциированное панорбитальное воспаление (с вовлечением слезных желез, мышц глазницы и иные потенциальные внутриглазничные осложнения) IgG4-related pan-orbital inflammation (includes lacrimal gland disease, extra-ocular muscle involvement, and other potential intra-orbital complications)
Слюнные железы Salivary glands	IgG4-ассоциированный сиаладенит, IgG4-ассоциированный паротит, IgG4-ассоциированная болезнь поднижнечелюстных слюнных желез IgG4-related sialadenitis, IgG4-related parotitis, IgG4-related submandibular gland disease
Твердая мозговая оболочка Pachymeninges	IgG4-ассоциированный пахименингит IgG4-related pachymeningitis
Гипофиз Hypophysis	IgG4-ассоциированный гипофизит IgG4-related hypophysitis
Щитовидная железа Thyroid	IgG4-ассоциированная тиреоидная болезнь (тиреоидит Риделя) IgG4-related thyroid disease (Riedel's thyroiditis)
А орта Aorta	IgG4-ассоциированный аортит (периаортит) IgG4-related aortitis (peri-aortitis)
Артерии Arteries	IgG4-ассоциированный периартериит IgG4-related peri-arteritis
Средостение Mediastinum	IgG4-ассоциированный медиастинит IgG4-related mediastinitis
Забрюшинное пространство Retroperitoneum	IgG4-ассоциированный ретроперитонеальный фиброз IgG4-related retroperitoneal fibrosis
Брыжейка Mesentery	IgG4-ассоциированный мезентерит IgG4-related mesenteritis
Кожа Skin	IgG4-ассоциированная болезнь кожи IgG4-related skin disease
Лимфатические узлы Lymph nodes	IgG4-ассоциированная лимфоаденопатия IgG4-related lymphadenopathy
Билиарные тракты Bile ducts	IgG4-ассоциированный склерозирующий холангит IgG4-related sclerosing cholangitis
Желчный пузырь Gallbladder	IgG4-ассоциированный холецистит IgG4-related cholecystitis
Печень Liver	IgG4-ассоциированная гепатопатия (поражение паренхимы печени без вовлечения протоков) IgG4-related hepatopathy (liver parenchyma involvement without biliary tract involvement)
Легкие Lungs	IgG4-ассоциированная болезнь легких IgG4-related lung disease
Плевра Pleura	IgG4-ассоциированный плеврит IgG4-related pleuritis
Перикард Pericard	IgG4-ассоциированный перикардит IgG4-related pericarditis
Почки Kidneys	IgG4-ассоциированная болезнь почек (поражение паренхимы почек выделено в 2 формах: IgG4-ассоциированный тубулоинтерстициальный нефрит и мембранозный вторичный гломерулонефрит; поражение лоханки почек — IgG4-ассоциированный пиелит) IgG4-related kidney disease (kidney parenchyma is affected in 2 forms: IgG4-related tubulointerstitial nephritis and membranous glomerulonephritis; involvement of the renal pelvis is IgG4-related renal pyelitis)
Молочные железы Breast	IgG4-ассоциированный мастит IgG4-related mastitis
Предстательная железа Prostate	IgG4-ассоциированный простатит IgG4-related prostatitis

проявление аутоиммунного заболевания [11]. В дальнейшем появлялись различные сообщения об аналогичных случаях ассоциации хронического панкреатита, болезни Крона, язвенного колита и синдрома Шегрена, развитие которых связывали с аутоиммунными процессами, однако подтверждений этому предположению на тот момент найдено не было [12—14].

В 1988 г. предпринята первая попытка включить АИП в Марсельско-Римскую классификацию [15]: в ней выделили «особую форму хронического панкреатита», характеризующуюся уменьшением объема паренхимы железы в исходе выраженного фиброза с массивной мононуклеарной инфильтрацией. Сам термин АИП был впервые предложен в 1995 г. К. Yoshida [16], под руководством которого группа исследователей подробно описала клиническую картину и диагностические критерии этого заболевания.

В последующие 20 лет число публикаций с описанием АИП росло в геометрической прогрессии. К середине 2000-х годов оно выросло более чем в 60 раз по сравнению с серединой 1990-х годов [17]. При этом интерес к проблеме сохранялся вплоть до 2010 г., когда IgG4-AC3 было выделено в самостоятельную нозологию, после чего число публикаций об АИП стало уменьшаться.

В начале 2000-х годов АИП впервые был включен в этиологическую классификацию панкреатита ТІGAR-О, выделяющую изолированный АИП и синдром АИП, ассоциированного с сопутствующими аутоиммунными проявлениями (первичным билиарным циррозом печени, первичным склерозирующим холангитом, синдромом Шегрена и воспалительными заболеваниями кишечника) [18]. Подобное разделение стало прообразом классификации на основе системности воспалительного процесса, однако для проведения четкой границы авторам не хватало дифференциального фактора, которым позже стала активность экспрессирующих IgG4 клеток и повышение содержания IgG4 в сыворотке крови [1].

В 2001 г. Н. Натапо и соавт. описали увеличение сывороточной концентрации IgG4 у пациентов с АИП [19]. Это открытие вызвало огромный интерес исследователей и стало своеобразным началом эпохи IgG4-ассоциированных заболеваний.

Во множестве исследований была показана четкая корреляция определенных форм АИП с повышением концентрации IgG4 в крови пациентов, и со временем сформировалось представление об АИП как о системном заболевании с обязательным вовлечением поджелудочной железы [17]. В 2003 г. Т. Катізажа проанализировал гистологические изменения, характерные для поражения различных органов и тканей, и высказал предположение о «системном склерозирующем заболевании», проявляющемся в том числе аутоиммунным поражением поджелудочной железы [20]. Позднее широкое применение иммуногистохимиче-

ского анализа позволило подтвердить четкую связь АИП с уровнем IgG4 и выделить 2 типа АИП: І тип, характеризующийся IgG4-ассоциированным поражением поджелудочной железы с частым вовлечением в процесс других органов и тканей, и ІІ тип, являющийся самостоятельным заболеванием и не связанный с аутоиммунными процессами, обусловленными повышением уровня IgG4 [5].

В 2000-х годах происходило уточнение диагностических критериев IgG4-ассоциированного АИП: в 2002 г. разработаны первые японские критерии [21], в 2006 г. — вторые японские критерии [22], в 2006 г. в клинике Мэйо — американские критерии HISORt [23], в 2007 г. — корейские критерии [24], в 2008 г. — азиатские критерии [25], в 2009 г. — итальянские критерии [26].

В конце 2000-х и начале 2010-х годов в научной литературе стали появляться указания на возможное развитие воспалительных изменений, ассоциированных с повышением сывороточной концентрации IgG4, в других органах и тканях, в том числе и центральной нервной системе: твердой мозговой оболочке головного мозга (IgG4-ассоциированный менингит) [27], оболочках спинного мозга [28], гипофизе (IgG4-ассоциированный гипофизит) [29].

Как уже было сказано, использовались 3 термина для обозначения IgG4-ассоциированной патологии [1]:

- IgG4-ассоциированная системная склерозирующая болезнь (IgG4-related systemic sclerosing disease) [30];
- системный IgG4-ассоциированный плазмоцитарный синдром (systemic IgG4-related plasmacytic syndrome) [31];
- IgG4-позитивный мультиорганный лимфопролиферативный синдром (IgG4-positive multi-organ lymphoproliferative syndrome) [32].

Наконец, в 2012 г. термин «IgG4-ассоциированное системное заболевание» был закреплен решением I Международного симпозиума по IgG4-AC3 в Бостоне [33, 34]. Тогда же была утверждена терминология, номенклатура проявлений и критерии диагностики IgG4-AC3.

ЭПИДЕМИОЛОГИЯ

IgG4-AC3 характерно преимущественно для мужчин среднего или пожилого возраста. Проявления заболевания зависят от характера поражения тех или иных систем органов и тканей. В большинстве случаев общим признаком IgG4-AC3 является высокая эффективность иммуносупрессивной терапии, в частности кортикостероидной. Долгосрочный прогноз до сих пор полноценно не определен ввиду малого числа наблюдений, малой длительности периода изучения заболевания и наблюдения за пациентами, большого разнообразия клинических форм и схем терапии (из-за отсутствия четких рекомендаций по лечению) [1, 33, 35].

ЭТИОЛОГИЯ И ПАТОГЕНЕЗ

Этиология и патогенез IgG4-AC3 на сегодняшний день изучены недостаточно полно. Как и в случае различных аутоиммунных заболеваний, целесообразно говорить не столько об этиологических факторах, сколько о триггерах, вызывающих манифестацию заболевания на фоне генетической предрасположенности [1]. В роли триггеров могут выступать бактериальные и вирусные инфекции, лекарственные препараты, вакцины, факторы внешней среды (инсоляция, экологические факторы) и т.д.

Существует 2 патогенетические теории развития IgG4-AC3: аутоиммунная и аллергическая. В пользу первой свидетельствует часто выявляемое у пациентов с признаками IgG4-AC3 повышение сывороточной концентрации иммуноглобулинов в целом и IgG4 в частности, а также обнаружение в крови аутоантител. В пользу аллергической теории свидетельствует повышение у части пациентов (до 35 % пациентов с АИП) сывороточной концентрации IgE [36]. Что касается высокой эффективности кортикостероидов, то она характерна как для аутоиммунных, так и аллергических процессов.

Согласно аутоиммунной теории патогенеза IgG4-AC3, могут существовать общие антигены в поджелудочной железе и других экзокринных органах, таких как слюнные железы, гепатобилиарный тракт и канальцы почек. Некоторые аутоантитела, в частности антинуклеарные антитела, антитела к лактоферрину и углеродистой ангидразе II типа (карбоангидразе) и ревматоидный фактор часто обнаруживаются у пациентов с АИП, однако их наличие не считается строго специфичным для этого заболевания [17]. Это также не объясняет возможность развития воспалительного процесса в оболочках головного и спинного мозга, в которых отсутствует экзокринная ткань. Кроме того, не у всех обследованных пациентов с признаками АИП имеются антитела к карбоангидразе II и лактоферрину. Нельзя исключать, что в патогенезе IgG4-AC3 могут участвовать и другие аутоантитела.

Большинство аутоиммунных заболеваний характеризуются преимущественным включением Т-хелперов I типа, обеспечивающих специфический иммунный ответ и активную секрецию интерферона γ. С другой стороны, в основе аллергических реакций лежит иммунный ответ Th2-типа, связанный с секрецией интерлейкинов (ИЛ) 4, 5 и 13. Т-регуляторные клетки способны подавлять иммунный ответ путем секреции ряда регуляторных цитокинов, таких как ИЛ-10 и трансформирующий фактор роста β (ТGF-β) [1, 36, 37].

Цитокиновый профиль при IgG4-AC3 характеризуется существенным повышением концентрации ИЛ-4, ИЛ-5, ИЛ-10, ИЛ-13 и TGF- β . При этом уровень интерферона γ оказывается одинаково высоким как при IgG4-AC3, так и при иных аутоиммунных процессах. Гистологически установлено, что область инфильт-

рации при IgG4-AC3 содержит большое количество клеток, продуцирующих Foxp3 – транскрипционный фактор и маркер Т-регуляторных клеток [1, 37]. Можно предполагать, что одним из важнейших звеньев патогенеза IgG4-AC3 является иммунная реакция Th2-типа на не выявленный до сих пор триггер с массивной миграцией в очаг воспаления Т-регуляторных клеток. Эти факты свидетельствуют скорее в пользу аллергического характера заболевания. TGF-β является активным цитокином, способствующим развитию фиброза и принимающим участие в инфильтрации тканей IgG4-позитивными плазматическими клетками и развитии перидуктального фиброза (если речь идет о поджелудочной железе). При этом также было описано повышение концентрации интерферона у в крови пациентов с IgG4-AC3, что характерно для аутоиммунных заболеваний с преобладанием иммунного ответа I типа [38]. Таким образом, сегодня не вполне ясно, какой тип иммунного ответа преобладает в патогенезе IgG4-AC3 — Th1, типичный для аутоиммунных процессов, или Th2, характерный для аллергических реакций. Нельзя исключать, что оба типа иммунного ответа могут принимать участие в развитии IgG4-AC3 на различных стадиях заболевания [1, 17].

Один из наиболее характерных маркеров IgG4-AC3 — существенное повышение сывороточной концентрации IgG4, а также инфильтрация пораженной ткани соответствующими плазматическими клетками [1]. IgG4 — один из самых редких видов IgG, доля которого в общем количестве иммуноглобулинов G в крови в норме не превышает 3-6 %. IgG4 имеют ряд уникальных биологических особенностей: в отличие от IgG4 и IgG2, IgG1 и IgG3 способны стойко связываться с F_c -рецепторами поверхностных мембран лейкоцитов. По сути, IgG4 часто считают вариантом невоспалительных защитных антител организма человека. Т-хелперы благодаря секреции цитокинов типа интерферона у способны стимулировать высвобождение IgG1 и IgG2, тогда как ИЛ-4, ИЛ-5 и ИЛ-13 регулируют секрецию IgG4 и IgE [17]. Известно, что IgG4, в отличие от других видов иммуноглобулинов, не способен к преципитации с очищенными антигенами. IgG4 также слабо контактируют с F_C-рецепторами по сравнению с IgG1 и практически не активируют компоненты системы комплемента. Они способны защищать от биологических эффектов комплементсвязанных субклассов иммуноглобулинов и блокировать IgE-обусловленные эффекты паразитарных антигенов in vitro [1].

Повышение сывороточной концентрации IgG4 наблюдается как при аллергических (например, бронхиальной астме или атопическом дерматите), так и при некоторых аутоиммунных патологиях (таких как пемфигоид (пузырчатка), миастения и системная красная волчанка) [37]. Патогенетическая роль IgG4 в развитии этих заболеваний остается неясной. Неизвестно также, является ли повышение уровня IgG4 неотъемлемой

частью патогенеза IgG4-AC3 или лишь сопутствующим признаком развития процесса [39]. IgG4 способны как запускать классический путь активации комплемента, так и оказывать противовоспалительное действие за счет уменьшения пула антигенов, доступных для контакта с более патогенными классами антител [1]. Тем не менее IgG4 рассматривают и в качестве патогенных аутоантител при пузырчатке, индуцирующих дермоэпидермальную сепарацию [40]. При ревматоидном артрите IgG4 является одним из доминирующих видов антител к циклическому цитруллиновому пептиду. Сывороточный IgG4 также реагирует с неизмененными антигенами некоторых тканей, таких как поджелудочная железа и желчные протоки, что подтверждает их потенциальную роль в качестве аутоантител при развитии IgG4-AC3 в целом и IgG4-ассоциированного АИП (и холангита) в частности [1].

ДИАГНОСТИЧЕСКИЕ КРИТЕРИИ

Поскольку IgG4-AC3 было выделено как самостоятельная нозология только в 2012 г., а более ранние предположения о роли IgG4 ничем не были подкреплены и, кроме того, первые связи были установлены между повышением уровня IgG4 и аутоиммунной патологией поджелудочной железы (АИП) и желчевыводящей системы (аутоиммунным холангитом), неудивительно, что первые диагностические критерии IgG4-AC3 касались именно признаков поражения поджелудочной железы и гепатобилиарной системы [1].

В 2012 г. группой исследователей под руководством Н. Umehara и К. Okazaki были предложены критерии диагностики IgG4-AC3, которые до сих пор применяются наиболее широко [41]. В настоящее время эти критерии носят название всесторонних японских диагностических критериев. Они основаны на клинических, лабораторных и диагностических данных и включают следующие пункты:

- 1) Картина локального или множественного поражения, опухолеподобная воспалительная инфильтрация очагового или диффузного характера.
- 2) Повышение сывороточной концентрации IgG4 (>135 мг/дл).
- 3) Наличие гистологических признаков:
- лимфоплазмоцитарной инфильтрации и фиброза;
- инфильтрации плазматическими клетками, экспрессирующими IgG4;
- >10 клеток в поле зрения при большом увеличении (увеличение в 400 раз);
- соотношения $IgG4/IgG4^+$ -плазмоцитов >40 %.

Диагноз IgG4-AC3 считается доказанным при наличии всех 3 критериев. Наличие 1-го и 3-го критериев позволяет говорить о вероятном IgG4-AC3, а 1-го и 2-го критериев — о возможном IgG4-AC3 [41]. Таким образом, одним из важнейших диагностических критериев IgG4-AC3 является гистологическая верификация. Несомненно, с учетом большого разнообразия

локализации очагов поражения органов, проведение биопсии не всегда является простой задачей. Тем не менее гистологический анализ остается обязательной частью диагностики IgG4-AC3. Помимо определения характера инфильтрации, при гистологическом анализе оценивают плотность инфильтрации. Это обусловлено тем, что плазматические клетки, экспрессирующие IgG4, часто присутствуют при развитии совершенно иных, не связанных с IgG4 заболеваний, например при ревматоидном артрите и ревматическом синовите, синдроме Шегрена, воспалительных поражениях полости рта и кожи, первичном склерозирующем холангите, гранулематозе Вегенера, саркоидозе, вторичном ретроперитонеальном фиброзе, некоторых видах лимфом и карцином с перитуморальной воспалительной инфильтрацией и ряде других [42]. Во всех этих случаях наличие плазматических клеток, экспрессирующих IgG4, не является обязательным фактором патогенеза, и даже при их наличии плотность инфильтрации оказывается существенно ниже таковой при IgG4-AC3. Наконец, 3-й диагностический критерий также требует гистологической верификации.

Описанные всесторонние японские критерии диагностики IgG4-AC3 на данный момент являются единственными критериями, учитывающими не только поражение поджелудочной железы и органов гепатобилиарной системы, но и других органов и тканей, т. е. они наиболее универсальны. Тем не менее существуют и другие диагностические критерии: первые (2002) и вторые (2006) японские критерии [21, 22], критерии HISORt (2006, 2009) [23], корейские критерии (2007) [24], азиатские критерии (2008) [25], критерии M-ANNHEIM (2009) [43] и итальянские критерии (2003, 2009) [26]. Данные критерии направлены в основном на диагностику АИП и учитывают характер поражения и инфильтрации ткани поджелудочной железы и компонентов гепатобилиарной системы. Однако с 2010 г. все эти критерии, не учитывающие разделение АИП на I и II типы [44], по сути, являются устаревшими.

В 2011 г. на основе всех указанных систем была предложена новая система диагностических критериев ICDC [45], учитывающих следующее:

- 1. Данные методов визуализации:
- компьютерной и/или магнитно-резонансной томографии (МРТ) брюшной полости о структуре паренхимы поджелудочной железы;
- эндоскопической ретроградной или магнитно-резонансной панкреатохолангиографии для оценки структуры главного панкреатического протока.
- 2. Сывороточную концентрацию IgG4.
- 3. Вовлечение иных органов и тканей.
- 4. Гистологическую оценку структуры тканей поджелудочной железы.
- 5. Эффективность терапии кортикостероидами.

В 2011 г. предложена другая система диагностических критериев, объединяющая преимущественно

первые и вторые японские критерии — система JPS-2011 [46]. Она имеет ряд преимуществ перед другими диагностическими системами:

- простота применения в клинической практике;
- детализация поражения поджелудочной железы (диффузная, сегментарная и локальная формы);
- учет только одного серологического маркера (концентрации IgG4 в сыворотке крови);
- оценка вовлечения иных органов и тканей в процесс (other organ involvement);
- возможность пробной терапии кортикостероидами после исключения злокачественности процесса путем биопсии ткани основного очага [1, 46].

Тем не менее эта система, как и указанные выше аналоги, наиболее эффективная у пациентов с преимущественным поражением поджелудочной железы и гепатобилиарной системы, хотя и учитывает поражение других органов и тканей.

В целом при наличии множества алгоритмов диагностики и систем диагностических критериев универсальной системы, учитывающей все особенности патогенеза, на сегодняшний день не существует. В разных случаях применимы различные системы (табл. 2).

ПОРАЖЕНИЕ ОРГАНОВ ЦЕНТРАЛЬНОЙ НЕРВНОЙ СИСТЕМЫ В РАМКАХ IgG4-АССОЦИИРОВАННОГО СИСТЕМНОГО ЗАБОЛЕВАНИЯ

Хотя основными и наиболее распространенными компонентами IgG4-AC3 являются поражение поджелудочной железы и желчевыводящих путей [47], известны случаи поражения других органов и тканей (см. табл. 1) [5, 34]. В целом не вызывает сомнений то, что IgG4-AC3 может поражать практически любой орган [47].

Если говорить о поражении только структур центральной нервной системы, можно условно выделить 3 варианта проявлений заболевания: поражение оболочек головного мозга (IgG4-ассоциированный церебральный пахименингит), поражение оболочек спинного мозга (IgG4-ассоциированный спинальный пахименингит) и поражение гипофиза (IgG4-ассоциированный гипофизит). Первый и третий варианты, согласно данным научной литературы, встречаются чаще, спинальная форма IgG4-AC3 — существенно реже [48].

ІдG4-ассоциированное поражение гипофиза (IgG4-ассоциированный гипофизит). На его долю приходится не более 0,4 % всех случаев воспалительного поражения гипофиза [50]. С 2007 по 2018 г. описано 24 случая подтвержденного гистологически IgG4-ассоциированного гипофизита [49, 50] (табл. 3). Соотношение мужчин и женщин составило 1:1 (12 мужчин и 12 женщин). Средний возраст женщин был существенно меньше — 28,5 года (14-58 лет), чем возраст мужчин — 62,4 года (40-77 лет) (p < 0,0001). У всех пациентов наблюдались общемозговые симптомы (головная боль, тошнота, рвота), общие симптомы (общее недомогание, утом-

ляемость, отсутствие аппетита, субфебрильная лихорадка) и симптомы эндокринных нарушений. При выполнении MPT у 17 из 24 пациентов выявлено очаговое поражение гипофиза с увеличением интенсивности сигнала после контрастирования гадолинием. Изначально в большинстве случаев предполагали наличие опухоли гипофиза. У остальных 7 пациентов при MPT с контрастным усилением выявили диффузный отек гипофиза с накоплением гадолиния.

В анализе крови во всех случаях отмечалось снижение концентрации гормонов гипофиза, а у 3 пациентов была выявлена вторичная гиперпролактинемия. Диагноз IgG4-AC3 подтвержден путем гистологического анализа: практически во всех случаях выявлена обильная лимфоплазмоцитарная инфильтрация ткани гипофиза, увеличение соотношения $IgG4^+/IgG^+$ (>40 %) и наличие $>10 \, \text{IgG4}^+$ -клеток в поле зрения (рис. 1). Все упомянутые диагностические критерии (см. табл. 2) имели место не во всех случаях. Так, сториформный фиброз был выявлен у 9 пациентов, повышение концентрации эозинофилов в крови – у 8, тогда как облитерирующий флебит не встретился ни разу. Сывороточная концентрация IgG4 не превышала условную норму у 14 из 21 пациента (показатель оценивали не во всех случаях). По результатам длительного наблюдения за пациентами было показано, что в большинстве случаев (18 из 24) IgG4-ассоциированное поражение гипофиза не было компонентом системного IgG4-AC3 и не было связано с сопутствующим поражением других органов и тканей. В послеоперационном периоде все пациенты, кроме одного, получали кортикостероиды.

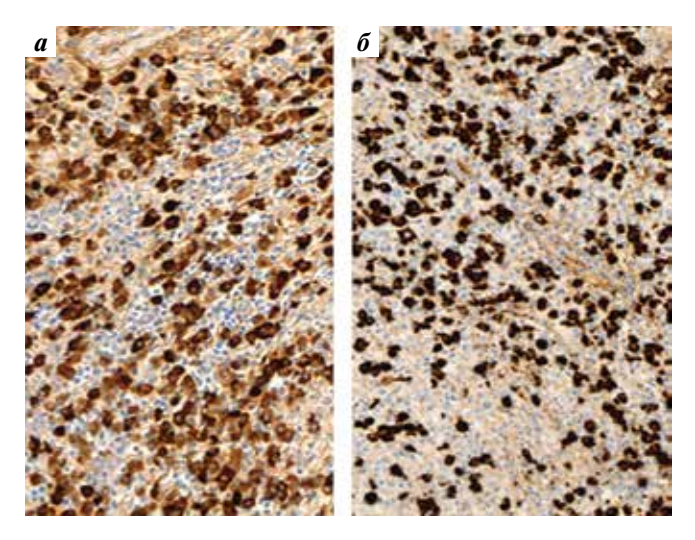


Рис. 1. Иммуногистологический анализ ткани гипофиза с применением антител к IgG(a) и IgG4(b) (адаптировано из [49] с разрешения авторов). Отмечается увеличение соотношения $IgG4^+/IgG^+$ -клеток (>40%). В поле зрения >50 $IgG4^+$ -клеток. Окраска иммунопероксидазой с контрастированием гематоксилином. $\times 200$

Fig. 1. Immunohistochemical analysis of pituitary tissue with antibodies against IgG(a) and IgG4(b) (reproduced from [49] with permission of the authors). Increased $IgG4^+/IgG^+$ cell ratio > 40 %. More than 50 $IgG4^+$ plasma cells in the field of vision. Immunoperoxidase with hematoxylin contrast. \times 200

Таблица 2. Сравнительный анализ диагностических критериев IgG4-ассоциированного системного заболевания (Буеверов А. и соавт. [1], K. Okazaki и соавт. [5])

 Table 2. Comparative analysis of diagnostic criteria of IgG4-related disease (per A. Bueverov et al. [1], K. Okazaki et al. [5])

Критерии Criteria	Клинические данные, визуализация Clinical data, visualization	Серология (уровень IgG4) Serology (IgG4 level)	Гистологический анализ Histological analysis	Вовлечение иных органов Involvement of other organs	Ответ на терапию корти- костероидами Response to corticosteroids therapy
Критерии международного консенсуса патологов [1] Criteria of the international pathological consensus [1]	_	Повышение (без точных границ) Increased (no defined range)	Характерные признаки, увеличение IgG4+-плазмоцитов и отношения IgG4/IgG Characteristic signs, increased IgG4+ plasma cells and IgG4/IgG ratio	Учитывается Taken into account	Учитывается Taken into account
Всесторонние японские критерии [41] Japanese comprehensive criteria [41]	Диффузное/очаговое поражение одного или нескольких органов-мишеней Diffuse/localized involvement of a single or multiple target organs	≥135 мг/дл ≥135 mg/dl	I. Выраженная лимфоплазмоцитарная инфильтрация и фиброз. II. Отношение IgG4+/IgG+-клеток >40 %; >10 IgG4+-клеток в поле зрения при большом увеличении I. Marked lymphocyte and plasmacyte infiltration and fibrosis. II. IgG4+/IgG+ cell ratio of >40 %; >10 IgG4+ cells in the field of vision with large magnification	-	Нет No
ICDC для I типа АИП [45] ICDC for type I AIP [45]	I. Структура паренхимы поджелудочной железы (по данным компьютерной и магнитно-резонансной томографии). II. Структура протоков (по данным эндоскопической ретроградной или магнитно-резонансной панкреатохолангиографии) I. Рапстеатіс рагепснута structure (computed and magnetic resonance imaging). II. Duct structure (endoscopic retrograde or magnetic resonance pancreatocholangiography)	-	LPSP I. Лимфоплазмоцитарная инфильтрация. II. >10 IgG4+-клеток в поле зрения. III. Сториформный фиброз. IV. Облитерирующий флебит LPSP I. Lymphoplasmacytic infiltration. II. >10 IgG4+ cells in field of view. III. Striform fibrosis. IV. Obliterative phlebitis	а. Гистология (оценка вовлечения иных органов и тканей в процесс. b. Данные визуализации a. Other organ involvement histology. b. Visualization data	Учитывается Taken into account
ICDC I уровня Level I ICDC	Диффузное поражение Diffuse involvement	более чем в 2 раза выше нормы >2 upper limit of normal value	3 и более (I—IV) 3 and more (I—IV)	а. Любые 3 (I—IV). b. Типичный 1 a. Any 3 (I—IV). b. Typical 1	
ICDC II уровня Level II ICDC	Сегментарное/ очаговое поражение Segmental/focal involvement	1—2 нормы 1—2 upper limits of normal value	Любые 2 из I—IV Any 2 from I—IV	a. 2 (I + II). b. Или физикальные данные a. 2 (I + II). b. Or physical data	

Окончание таблицы 2

End of the table 2

Критерии Criteria	Клинические данные, визуализация Clinical data, visualization	Серология (уровень IgG4) Serology (IgG4 level)	Гистологический анализ Histological analysis	Вовлечение иных органов Involvement of other organs	Ответ на терапию корти- костероидами Response to corticosteroids therapy
JPS-2011 [46]	Диффузное увеличение поджелудочной железы (по данным компьютерной и магнитно-резонансной томографии). Сегментарное/очаговое увеличение поджелудочной железы с нерегулярным сужением протоков (по данным эндоскопической ретроградной панкреатохолангиографии) Diffuse enlargement of the pancreas (computed and magnetic resonance imaging). Segmental/focal enlargement of the pancreas with irregular narrowing of the ducts (endoscopic retrograde pancreatocholangiography)	≥135 мг/дл ≥135 mg/dl	LPSP I. Лимфоплазмоцитарная инфильтрация. II. >10 IgG4*-клеток в поле зрения. III. Сториформный фиброз. IV. Облитерирующий флебит LPSP I. Lymphoplasmacytic infiltration. II. >10 IgG4* cells in field of view. III. Striform fibrosis. IV. Obliterative phlebitis	Склерозирующий холангит, дакриоаденит/ сиаладенит, ретроперитоне-альный фиброз Sclerosing cholangitis, dacryoadenitis/ sialadenitis, retroperitoneal fibrosis	Учитывается Taken into account

Примечание. LPSP — лимфоплазмоцитарный склерозирующий панкреатит. Note. LPSP — lymphoplasmocytic sclerosing pancreatitis.

В 2 случаях в схему терапии также добавили ритуксимаб, а в 1- азацитидин. Не было зафиксировано ни одного летального исхода и ни одного рецидива заболевания.

Предложены 5 критериев диагностики IgG4-ассоциированного гипофизита [51]:

- воспалительный инфильтрат в ткани гипофиза, не менее 10 IgG4+-клеток в поле зрения;
- диффузное либо очаговое поражение, активное накопление контрастного вещества при MPT гипофиза;
- IgG4-опосредованное поражение других органов;
- повышенная сывороточная концентрация IgG4;
- быстрый ответ на терапию с применением кортикостероидов.

Наличие критерия 1 достаточно для верификации диагноза. В тех случаях, когда гистологическое исследование невозможно, учитывают другие критерии.

IgG4-ассоциированное поражение оболочек головного мозга (IgG4-ассоциированный церебральный пахименингит) среди всех форм поражения структур головного мозга занимает 1-е место по частоте, однако по сравнению с иными вариантами IgG4-опосредованного поражения различных органов и тканей встречается крайне редко [52].

В подавляющем большинстве случаев церебральная форма IgG4 пахименингита имеет псевдотуморозный характер и проявляется утолщением твер-

дой мозговой оболочки. Преобладающая локализация IgG4-ассоциированного церебрального пахименингита не выявлена [53], описаны случаи как базального (рис. 2), так и конвекситального (рис. 3) поражения мозговой оболочки.

В большинстве случаев заболевание проявляется симптоматикой, напоминающей таковую при наличии интракраниальных менингиом. Выраженность симптомов зависит от степени утолщения мозговой оболочки и, соответственно, компрессии подлежащих тканей головного мозга. Последнее может обусловливать наличие у пациента признаков внутричерепной гипертензии, головной боли, тошноты, рвоты, головокружения, судорожной активности, выпадения функции черепных нервов и др. В редких случаях в процесс может вовлекаться мягкая мозговая оболочка — в таком случае говорят о IgG4-ассоциированном лептоменингите [54].

На сегодняшний день описано более 50 подтвержденных случаев церебрального IgG4-ассоциированного менингита [53, 55]. Критерии диагностики церебральной формы IgG4-AC3 соответствуют таковым при иных формах заболевания:

 - гистологически верифицированная лимфоплазмоцитарная инфильтрация тканей мозговой оболочки, выраженное увеличение числа IgG4⁺-клеток (по существующим критериям >10 в поле зрения, однако ряд авторов склоняются к увеличению показателя до 50 в поле зрения [52]);

Таблица 3. Данные о 24 описанных случаях IgG4-ассоциированного гипофизита (Uccella S. и соавт. [49])

 Table 3. Data on 24 described cases of IgG4-related hypophysitis (Uccella S. et al. [49])

Характеристика Characteristic	Данные Data
Пол, абс.: Sex, abs.: мужчины male женщины female	12 12
Возраст, лет: Аде, уеагs: средний: mean: все пациенты all patients мужчины male женщины female диапазон: range: все пациенты all patients мужчины male женщины female женщины female женщины	45,0 62,4 28,5 14–77 40–77 14–58
female Симптомы, абс.: Symptoms, abs.: общемозговые mass symptoms полиурия и полидипсия роlyuria and polydipsia эндокринные нарушения епdосrine symptoms общие симптомы general symptoms	14 4 5 7
Изменения по данным магнитно-резонансной томографии, абс.: Changes according to magnetic resonanceimaging, abs.: поражена селлярная/супраселлярная область sellar/suprasellar mass накопление контраста в области гипофиза, воронки, ножки pituitary, infundibular, stalk swelling	14 10
Нарушения функции гипофиза, абс.: Ріtuitary function, abs.: гипопитуитаризм hypopituitarism гиперпролактинемия hyperprolactinemia несахарный диабет diabetes insipidus отсутствуют normal нет данных not determined	16 4 5 1 2

Histological analysis, abs.: лимфоплазмацитарная инфильтрация lymphoplasmacytic infiltrate лимфоидные фолликулы lymphoid follicles сториформный фиброз storiform fibrosis облитерирующий флебит obliterative phlebitis иной флебит other phlebitis эозинофилия eosinophilia инфильтрация IgG4*-клетками infiltration by IgG4* cells Внегипофизарное поражение, абс.: Extrapituitary involvement, abs.: не выявлено попе слюнные и/или слезные железы salivary and/or lacrimal glands гепатобилиарный тракт biliary tract легкие lungs ретроперитонеальный фиброз геtroperitoneal fibrosis поджелудочная железа рапстеая глаза eyes толстый кишечник colon нет данных по data Сывороточная концентрация IgG4, абс.: IgG4 serum levels, abs.: норма потвышена elevated нет данных по data		
утрифоравтасутіс infiltrate	Гистологический анализ, абс.: Histological analysis, abs.: лимфоплазмацитарная инфильтрация	24
сториформный фиброз storiform fibrosis облитерирующий флебит облитерирующий флебит оор obliterative phlebitis иной флебит от other phlebitis зозинофилия весьпорация IgG4+склетками infiltration by IgG4+ cells Внегипофизарное поражение, абс.: Ектарітціагу involvement, abs.: не выявлено попе слюнные и/или слезные железы заімату анd/or lacrimal glands гепатобилиарный тракт biliary tract легкие 2 lungs ретроперитонеальный фиброз геторегітопеаl fibrosis поджелудочная железа палаза граза 1 геуез толстый кишечник соlon нет данных по data Сывороточная концентрация IgG4, абс.: IgG4 serum levels, abs.: норма погная повышена elevated нет данных по data Лечение, абс.: Ттеаtment, abs.: кортикостероиды + разацитидин согтісоsterоids + гітихітав кортикостероиды + ритуксимаб согтісоsterоids + зазацитидин согтісоsterоids + зазацитидин согтісоsteroids + тихітав кортикостероиды + ритуксимаб согтісоsteroids + тихітав кортикостероиды + ритуксимаб согтісоsteroids + зазацитидин согтісоsteroids + тихітав кортикостероиды + ритуксимаб согтісоsteroids + зазацитидин согтісоsteroids + тихітав кортикостероиды + ритуксимаб согтісоsteroids + тихітав кортикостероиды + ритуксимаб согтісоsteroids + зазацитидин согтісоsteroids + зазацитидин согтісоsteroids + тихітав кортикостероиды + ритуксимаб согтісоsteroids + тихітав кортикостероиды + ритуксимаб согтісоsteroids + зазацитидин согтісоsteroids + тихітав кортикостероиды + микофенолат-мофетил согтісоsteroids + тихітав кортикостероиды + зазацитидин согтісоветой + тихітав корти котав корти на повышение корти котав корти на повышение	lymphoplasmacytic infiltrate	
облитерирующий флебит обliterative phlebitis иной флебит оther phlebitis эозинофилия еоsinophilia инфильтрация IgG4*-клетками infiltration by IgG4* cells Внегипофизарное поражение, абс.: Extrapituitary involvement, abs.: не выявлено попе слюнные и/или слезные железы заlivary and/or lacrimal glands гепатобилиарный тракт biliary tract легкие lungs ретроперитонеальный фиброз геtroperitoneal fibrosis поджелудочная железа рапстеав тлаза еуеѕ толстый кишечник соlоп нет данных по data Сывороточная концентрация IgG4, абс.: IgG4 serum levels, abs.: норма потвышена еlevated нет данных по data Лечение, абс.: Ттеаtment, abs.: кортикостероиды + ритуксимаб соrticosteroids кортикостероиды + ритуксимаб соrticosteroids + rituximab кортикостероиды + дазщитидин соrticosteroids + азацутидин соrticosteroids + тituximab кортикостероиды + микофенолат-мофетил согticosteroids + тикофенолат-мофетил согticosteroids + тикофенолат-мофенолат-мофенолат-мофенолат-мофенолат-мофенолат-мофенолат-мофенолат-мофенолат-мофенолат-мофенолат-мофенолат-мофенолат-мофенолат-мофенолат-мо		9
иной флебит other phlebitis 0 эозинофилия eosinophilia 8 инфильтрация IgG4*-клетками infiltration by IgG4* cells 21 Внегипофизарное поражение, абс.: 21 Ехtrapituitary involvement, abs.: 13 не выявлено none 13 слюные и/или слезные железы salivary and/or lacrimal glands reпатобилиарный тракт biliary tract 2 легкие lungs 2 ретроперитонеальный фиброз retroperitoneal fibrosis noджелудочная железа рапстеаs глаза eyes 1 толстый кишечник colon нет данных no data 4 Сывороточная концентрация IgG4, абс.: 1gG4 serum levels, abs.: норма normal nobышена elevated нет данных no data 7 лечение, абс.: 3 Течение, абс.: 17 течение, абс.: 17 течение, абс.: 17 кортикостероиды + ритуксимаб corticosteroids + rituximab кортикостероиды + азацитидин согticosteroids + азасуtіdine кортикостероиды + микофенолат-мофетил corticosteroids + азасутіdine кортикостероиды + микофенолат-мофетил corticosteroids + mycophenolate-mofetil не было none нет данных 2	облитерирующий флебит	0
эозинофилия 21		0
инфильтрация IgG4+ сells 21 Внегипофизарное поражение, абс.: 21 Ехtrapituitary involvement, abs.: 13 не выявлено none 13 слюнные и/или слезные железы 3 salivary and/or lacrimal glands 2 renatoбилиарный тракт 2 biliary tract 2 легкие 2 lungs 2 peтponeputoheaльный фиброз 2 retroperitoneal fibrosis 1 поджелудочная железа 1 рапстеав 1 глаза 2 еуев 1 толстый кишечник 1 colon 4 нет данных 4 no data 14 Сывороточная концентрация IgG4, абс.: 1 IgG4 serum levels, abs.: 7 норма 14 повышена 1 elevated 7 нет данных 3 лочина данных 3 потисостеговетойь 17	эозинофилия	8
Ехtrapituitary involvement, abs.: не выявлено попе слюнные и/или слезные железы salivary and/or lacrimal glands гепатобилиарный тракт biliary tract легкие lungs ретроперитонеальный фиброз геtroperitoneal fibrosis поджелудочная железа рапстеав глаза еуев толстый кишечник colon нет данных по data Сывороточная концентрация IgG4, абс.: IgG4 serum levels, abs.: норма погтмаl повышена еlevated нет данных по data Лечение, абс.: Тгеаtment, abs.: кортикостероиды согтісоsteroids + гітихітарь кортикостероиды + ритуксимаб согтісоsteroids + гітихітарь кортикостероиды + азацитидин согтісоsteroids + тітихітарь кортикостероиды + микофенолат-мофетил согтісоsteroids + тітихітар кортикостероиды + тітихітар кортикостероиды + микофенолат-мофетил согтісоsteroids + тітихітар кортикостероиды + тітихітар кортикост	инфильтрация IgG4+-клетками	21
не выявлено попе слюнные и/или слезные железы заlivary and/or lacrimal glands гепатобилиарный тракт biliary tract легкие lungs ретроперитонеальный фиброз геtroperitoneal fibrosis поджелудочная железа рапстеая глаза eyes толстый кишечник colon нет данных по data Сывороточная концентрация IgG4, абс.: IgG4 serum levels, abs.: норма погмаl повышена еlevated нет данных по data Лечение, абс.: Ттеаtment, abs.: кортикостероиды тихия ритуксимаб соготісоsteroids кортикостероиды + ритуксимаб кортикостероиды + азацитидин согтісоsteroids + тіцхітарь кортикостероиды + микофенолат-мофетил согтісоsteroids + тіцхітарь кортикостероиды + тіцхітарь кортикостероиды + микофенолат-мофетил согтісоsteroids + тіцхітарь кортикостероиды + микофенолат-мофетил согтісоsteroids + тіцхітарь кортикостероиды + тіцхітарь корти + тіцхітарь кортикостероиды + тіцхітарь кортикостероиды + тіцхіт	Внегипофизарное поражение, абс.:	
слюнные и/или слезные железы заlivary and/or lacrimal glands гепатобилиарный тракт biliary tract легкие lungs peтponepuroнеальный фиброз геtroperitoneal fibrosis поджелудочная железа рапстеав глаза еуев толстый кишечник colon нет данных no data Сывороточная концентрация IgG4, абс.: IgG4 serum levels, abs.: норма normal повышена elevated нет данных no data Лечение, абс.: Тгеатиелt, abs.: кортикостероиды туксимаб сотticosteroids кортикостероиды + ритуксимаб сотticosteroids + гітихітав кортикостероиды + азацитидин сотticosteroids + азацитидин сотticosteroids + азацитидин сотticosteroids + тихітав кортикостероиды + микофенолат-мофетил сотticosteroids + тихітав кортикостероиды + ти	не выявлено	13
гепатобилиарный тракт biliary tract легкие lungs ретроперитонеальный фиброз геtroperitoneal fibrosis поджелудочная железа рапстеая глаза еуев толстый кишечник colon нет данных по data Сывороточная концентрация IgG4, абс.: IgG4 serum levels, abs.: норма погтыаl повышена еlevated нет данных по data Лечение, абс.: Ттеаtment, abs.: кортикостероиды сотticosteroids кортикостероиды + ритуксимаб кортикостероиды + азацитидин сотticosteroids + гітихітав кортикостероиды + микофенолат-мофетил сотісоsteroids + тихітав кортикостероиды + тихітав кортикостероиды + микофенолат-мофетил сотісоsteroids + тихітав кортикостероиды	слюнные и/или слезные железы	3
легкие lungs	гепатобилиарный тракт	2
ретроперитонеальный фиброз геtroperitoneal fibrosis поджелудочная железа рапстеав глаза еуев толстый кишечник соlon нет данных по data Сывороточная концентрация IgG4, абс.: IgG4 serum levels, abs.: норма погтаl повышена еlevated нет данных по data Лечение, абс.: Ттеаtment, abs.: кортикостероиды согticosteroids кортикостероиды + ритуксимаб согticosteroids + гітихітав кортикостероиды + азацитидин согticosteroids + азасутіdіпе кортикостероиды + микофенолат-мофетил согticosteroids + тихітов попе нет данных 2	легкие	2
поджелудочная железа рапстеая глаза еуев толстый кишечник соlon нет данных по data Сывороточная концентрация IgG4, абс.: IgG4 serum levels, abs.: норма повышена еlevated нет данных по data Лечение, абс.: Ттеаtment, abs.: кортикостероиды согticosteroids кортикостероиды + ритуксимаб кортикостероиды + азацитидин согticosteroids + гітихітав кортикостероиды + микофенолат-мофетил согтісоsteroids + тихітав кортикостероиды + тихітав кортикостероиды + микофенолат-мофетил согтісоsteroids + тихітав кортикостероиды + тихітав кортикостероиды + данных 2	ретроперитонеальный фиброз	2
глаза еуеѕ толстый кишечник соlon нет данных по data Сывороточная концентрация IgG4, абс.: IgG4 serum levels, abs.: норма погтый повышена еlevated нет данных по data Лечение, абс.: Тгеаtment, abs.: кортикостероиды согтісоsteroids кортикостероиды + ритуксимаб согтісоsteroids + гітихітав кортикостероиды + азацитидин согтісоsteroids + азасутіdіпе кортикостероиды + микофенолат-мофетил согтісоsteroids + тітихітав кортикостероиды + микофенолат-мофетил согтісоsteroids + тітихітав кортикостероиды + микофенолат-мофетил согтісоsteroids + тітихітав кортикостеронды + тітихітав кортикостеронды + данных 2	поджелудочная железа	1
толстый кишечник colon нет данных no data Сывороточная концентрация IgG4, абс.: IgG4 serum levels, abs.: норма normal повышена elevated нет данных no data Лечение, абс.: Ттеаtment, abs.: кортикостероиды соrticosteroids кортикостероиды + ритуксимаб соrticosteroids + гітихітав кортикостероиды + азацитидин соrticosteroids + азасуіdіпе кортикостероиды + микофенолат-мофетил согтісоsteroids + тітихітав кортикостероиды + тітихітав кортикостерои + тітихітав кортикостерои + тітихітав к	глаза	1
нет данных по data 4 Сывороточная концентрация IgG4, абс.: IgG4 serum levels, abs.: норма погта! 14 повышена elevated нет данных по data 3 Лечение, абс.: Тгеаtment, abs.: кортикостероиды согticosteroids кортикостероиды + ритуксимаб согticosteroids + rituximab кортикостероиды + азацитидин согticosteroids + агасуtidine кортикостероиды + микофенолат-мофетил согticosteroids + тихорhenolate-mofetil не было попе нет данных 1	толстый кишечник	1
IgG4 serum levels, abs.: 14 норма normal 7 повышена elevated 7 нет данных no data 3 Лечение, абс.: 17 Тreatment, abs.: 17 кортикостероиды сотticosteroids 2 кортикостероиды + ритуксимаб кортикостероиды + азацитидин сотticosteroids + азасуtіdіпе кортикостероиды + микофенолат-мофетил сотticosteroids + тикофенолат-мофетил сотticosteroids + тик	нет данных	4
норма погтаl повышена еlevated 7 нет данных по data 3 Лечение, абс.: Тгеаtment, abs.: кортикостероиды соrticosteroids 17 кортикостероиды + ритуксимаб соrticosteroids + rituximab кортикостероиды + азацитидин соrticosteroids + аzacytidine 2 кортикостероиды + микофенолат-мофетил соrticosteroids + имкофенолат-мофетил соrticosteroids + тусорhenolate-mofetil не было попе нет данных 2	Сывороточная концентрация IgG4, абс.:	
повышена еlevated 7 нет данных по data 3 Лечение, абс.: Тreatment, abs.: кортикостероиды сотticosteroids 17 кортикостероиды + ритуксимаб сотticosteroids + rituximab 2 кортикостероиды + азацитидин сотticosteroids + азасуtіdіпе 1 кортикостероиды + микофенолат-мофетил сотticosteroids + тихорhenolate-mofetil 1 не было попе 2 нет данных 2	норма	14
нет данных по data 3 Лечение, абс.: 17 Тreatment, abs.: 17 кортикостероиды согticosteroids 2 кортикостероиды + ритуксимаб 2 согticosteroids + rituximab 1 кортикостероиды + азацитидин согticosteroids + азасуtіdіпе 1 кортикостероиды + микофенолат-мофетил согticosteroids + mycophenolate-mofetil 1 не было попе 2 нет данных 2	повышена	7
Тreatment, abs.: кортикостероиды 17 соrticosteroids 2 кортикостероиды + ритуксимаб 2 соrticosteroids + rituximab 1 кортикостероиды + азацитидин 1 соrticosteroids + azacytidine 1 кортикостероиды + микофенолат-мофетил 1 сотticosteroids + mycophenolate-mofetil 2 не было 2 попе 2 нет данных 2	нет данных	3
кортикостероиды 17 согтісоsteroids 2 согтісоsteroids + гітихітав 2 кортикостероиды + азацитидин 1 согтісоsteroids + азасутіdіпе 1 кортикостероиды + микофенолат-мофетил 1 согтісоsteroids + mycophenolate-mofetil 2 не было 2 попе 2 нет данных 2	Лечение, абс.:	
кортикостероиды + ритуксимаб 2 согтісоsteroids + гітихітав 1 кортикостероиды + азацитидин 1 согтісоsteroids + азасутіdіпе 1 кортикостероиды + микофенолат-мофетил 1 согтісоsteroids + mycophenolate-mofetil 2 не было 2 попе 1 нет данных 2	кортикостероиды	17
кортикостероиды + азацитидин 1 согтісоsteroids + азасутіdіne 1 кортикостероиды + микофенолат-мофетил 1 согтісоsteroids + mycophenolate-mofetil 2 не было 2 попе 1 нет данных 2	кортикостероиды + ритуксимаб	2
кортикостероиды + микофенолат-мофетил 1 согтісоsteroids + mycophenolate-mofetil не было 2 попе нет данных	кортикостероиды + азацитидин	1
не было попе 2 нет данных 2	кортикостероиды + микофенолат-мофетил	1
нет данных 2	не было	2
	нет данных	2

- увеличение соотношения $IgG4^+/IgG^+ > 40 \%$;
- данные лучевой диагностики (компьютерной томографии, MPT) с обязательным активным накоплением контраста в зоне поражения, наличие признаков поражения иных органов и тканей;
- повышение сывороточной концентрации IgG4. (выявляется только у 60 % пациентов [56]).

В случае церебральных форм поражения ведущую роль в диагностике имеют методы нейровизуализации. Компьютерная томография в большинстве случаев







Рис. 2. Магнитно-резонансная томография пациента с комбинированной базальной и конвекситальной церебральной формой IgG4-ассоциированного пахименингита (адаптировано из [59] с разрешения авторов). Представлены сагиттальные срезы после введения контрастного вещества (гадолиния) в режиме Т1. На первичном изображении (а), сделанном за 6 нед до поступления пациента в клинику, визуализируется базальное утолщение твердой мозговой оболочки (ТМО) в области ската, компримирующее ствол головного мозга (стрелка вверху). Отмечается активное накопление гадолиния в зонах воспаления. Несмотря на терапию кортикостероидами, через 1 мес наблюдается ухудшение картины, дальнейшее утолщение базальной ТМО в зоне воспаления (б). Через 10 мес после начала лечения ритуксимабом и проведения вентрикулоперитонеального шунтирования (в) отмечается существенный регресс воспалительного процесса, нормализация толщины ТМО и снижение интенсивности накопления гадолиния

Fig. 2. Magnetic resonance imaging of a patient with combined basal and convexital cerebral form of IgG4-related pachymeningitis (reproduced from [59] with permission of the authors). Sagittal T1-weighted scans after contrast agent infusion. On the first image (a) obtained 6 weeks prior to patient admittance to the clinic, basal thickening of the pachymeninx near the declive compressing the brain stem (shown by the upper arrow) is visualized. Active accumulation of gadolinium in the inflammation areas is observed. Despite corticosteroid treatment, 1 month after MRI worsened, basal pachymeninx thickened in the area of inflammation (6). The same patient 10 months after the start of rituximab administration and ventriculoperitonial shunt are presented (8). Significant regress of the inflammation process is observed, normalization of pachymeninx thickness and decreased intensity of gadolinium accumulation

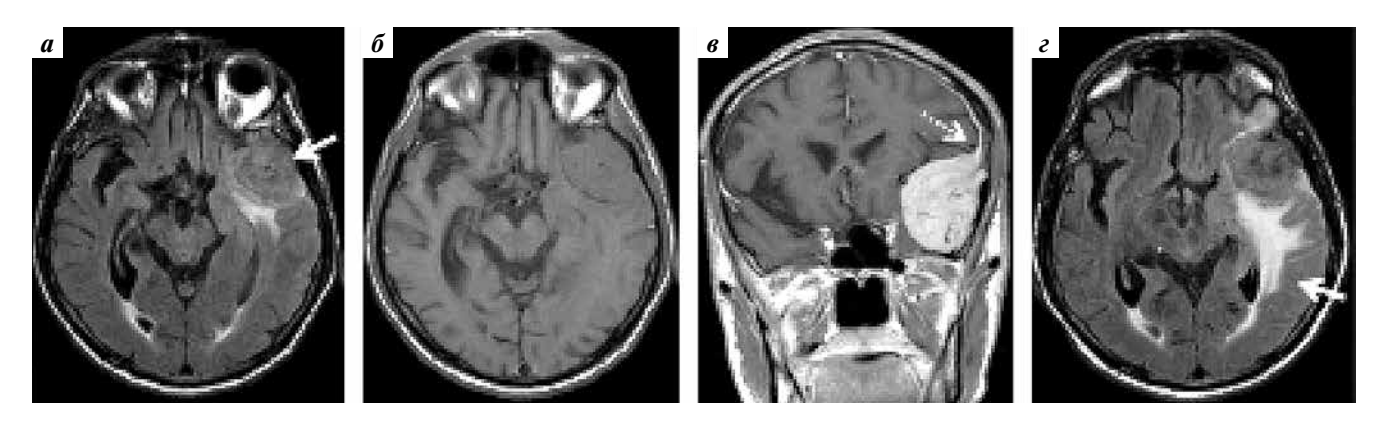


Рис. 3. Церебральная форма IgG4-ассоциированного пахименингита (адаптировано из [53] с разрешения авторов). Представлены аксиальные срезы с контрастным усилением. На изображении в режиме FLAIR визуализируется зона уплотнения и утолщения мозговой оболочки в левой височной области, окруженная зоной вазогенного отека (а) (стрелка). На аксиальном срезе в режиме T1 та же область изоинтенсивна серому веществу головного мозга, нет признаков кровоизлияния или геморрагического пропитывания (б). На аксиальном срезе в режиме T1 после введения контрастного вещества (гадолиния) (в) отмечается активное гомогенное накопление гадолиния с четкой связью с твердой мозговой оболочкой (стрелка). На аксиальном срезе в режиме FLAIR через 1 год (г) сохраняется зона утолщения твердой мозговой оболочки в левой височной области с зоной перифокального вазогенного отека (стрелка)

Fig. 3. Cerebral from of IgG4-related pachymeningitis (reproduced from [53] with permission of the authors). Axial contrast-enhanced scans. FLAIR scan shows an area of thickened and denser meninx in the left temporal region surrounded by an area of vasogenic edema (a) (arrow). Axial T1-weighted section, same area is isointense relative to gray matter, no signs of hemorrhage or hemorrhagic soaking (b). Axial T1-weighted section after contrast agent (gadolinium) infusion. Active homogenous gadolinium accumulation with a distinct connection to the pachymeninx — shown by an arrow (b). FLAIR axial section 1 year after the start of observation. An area of thickened pachymeninx with an area of perifocal vasogenic edema persists in the left temporal zone (c) (arrow)

является первым из применяемых методов визуализации и позволяет выявить утолщение мозговой оболочки и псевдоопухоль глазницы. Более точный метод — MPT, обеспечивающая точное определение зоны поражения, структуры очага, позволяющая оценить интенсивность

накопления контрастного вещества и наличие компрессии подлежащих структур головного мозга [52]. Зоны пахименингита по данным МРТ визуализируются как обширные зоны утолщения оболочки (низкоили среднеинтенсивные на Т1- и Т2-взвешенных

Таблица 4. Данные о 15 описанных случаях IgG4-ассоциированного спинального пахименингита с компрессией спинного мозга и/или его корешков (Winkel M. и соавт. [48]) Table 4. Data on 15 described cases of IgG4-related spinal pachymeningitis with spinal and/or radicular compression (Winkel M. et al. [48])

Исход	НД NA	Полный perpecc Complete regression	НЛ AN	Полный регресс Full regression	Улучшение Improvement	НД К	Улучшение Improvement	Heзначительное улучшение Insignificant improvement	Почти полный perpecc Almost complete regression
Лечение	Хирургия Surgery	Хирургия + КС Surgery + CS	Хирургия Surgery	KC + JIT CS + RT	KC CS	Хирургия Surgery	Хирургия + КС Surgery + CS	Хирургия + КС Surgery + CS	Хирургия + КС + маннит + HT ЛС Surgery + CS + mannitol+ NT drugs
IgG4 B JUKBOPE Liquor IgG4	НД Ч	НДИ	НД NA	34,30	НД Ч	НД NA	НДХ	НД Ч	Н Д NA
IgG4 B ChBopotke Kpobu, Mr/lli Serum igG4 level, mg/dl	НД NA	06	НД V	НД	221	Н Д КА	512	Н Х Ч	976
HICHO IGG4*-KIG- TOK B HOJE 3PEHIN NUMBER OF IGG4* cells	310	>20	11,8	46,6	ДЧ	10	2	Много A lot	>50
lgG4/ lgG, %	70	НДN	30	09	НА КА	35	НД NA	НД МА	40
Неврологические симптомы Neurological symptoms	Парапарез, гипестезия Paraparesis, hypesthesia	Парапарез Paraparesis	Онемение в руках Hand numbness	НД	Дисфагия, нарушение функции черепных нервов Dysphagia, cranial nerve dysfunction	Радикулопатия, монопарез, гипесте- зия в ноге Radiculopathy, monoparesis, hypesthesia in the leg	Параплегия, анесте- зия с уровня Th_4 - Th_3 Paraplegy, anesthesia from the Th_4 - Th_3 level	Парапарез, гипесте- зия, тазовые нарушения Paraparesis, hypesthesia, pelvic dysfunction	Боль в шее, парапа- рез, гипестезия, тазо- вые нарушения Neck pain, paraparesis, hypesthesia, pelvic dysfunction
Уровень поражения Level	$\mathrm{Th_{5}}\mathrm{-Th_{10}}$	$\mathrm{Th_9}\mathrm{-Th_{11}}$	C_2-C_3	C_3-C_7	${ m Th}_2{ m -Th}_8$	J,	${ m Th_2-Th_3}$	C_7 —Th _s	C_4 —Th ₂
Длитель- ность болезни, нед Disease duration, weeks	2	5	НД	НД	4	НД	2	2	7
Пол	Муж. Male	Жен. Fem.	Муж. Male	Муж. Male	Муж. Male	Муж. Male	Муж. Male	Жен. Fem.	Муж. Male
Bospact, ner Age, years	37	46	63	55	64	32	55	52	43
Год Уеаг	2009	2010	2010	2010	2012	2013	2014	2014	2016
Astrop Author	Chan et al.	Choi et al.	Lindstrom et al.	Lindstrom et al.	Tajima and Mito	Wallace et al.	Ezzeldin et al.	Kim et al.	Gu et al.

Окончание таблицы 4 End of the table 4

Исход Оцеоте	Улучшение Ітргочетепt	Улучшение Ітргочетепt	Полный регресс Full regression	Heзначительное улучшение Insignificant improvement	Почти полный perpecc Almost complete regression	Значительное улучшение Significant improvement	Полный регресс Full regression
Лечение	КС + ЦФА CS + CP	Хирургия + КС Surgery + CS	KC	KC CS	Хирургия + КС Surgery + CS	KC+ATII CS+ATP	Хирургия + КС Surgery + CS
IgG4 B JUKBOPe Liquor IgG4	9,1	НД NA	НДЧ	НД NA	НД NA	НД NA	НД Ч
IgG4 B Chibopotke Kpobu, Mr/дл Serm 1gG4 level, mg/dl	82,2	66,2	Н ДИ А	НД NA	Hopma Normal	38	Норма Normal
Число IgG4*-кле- ток в поле зрения Number of IgG4* cells	>10	>50	140-150	120-130	MHOFO A lot	10	HZ A
1gG4/ 1gG, %	40	Н А	40	50	НД NA	Н Д А	27
Hebpojornyeckne chmirtombi Neurological symptoms	Тетрапарез, гипестезия, тазовые нарушения Теtraparesis, hypesthesia, pelvic dysfunction	Радикулопатия Radiculopathy	НД AN	НДN	Парапарез, гипесте- зия с уровня Th6 Paraparesis, hypesthesia from the Th6 level	Боль в шее, тетрапарез, парестезии Neck pain, tetraparesis, paresthesias	Клаудикация, радикулопатия справа Claudication, radiculopathy on the right
Уровень поражения Геусі	C_2 —Th	$\mathrm{Th}_{\scriptscriptstyle 10}\mathrm{-Th}_{\scriptscriptstyle 12}$	L_2-L_3	$\mathbf{L_1}$ - $\mathbf{L_2}$	$\mathrm{Th_4-Th_6}$	C_4 -Th ₁	$ m L_2 - L_3$
Длитель- ность болезни, нед Discase duration, weeks	24	2	24	24	12	2	2
Пол Sex	Муж. Male	Жен. Fem.	Муж. Male	Муж. Male	Муж. Male	Жен. Fem.	Жен.
Bospact, ner Age, years	55	57	19	50	50	46	48
Год Үеаг	2016	2016	2016	2016	2017	2017	2018
Author	Lu et al.	Ferreira et al.	Radotra et al.	Radotra et al.	Rumalla et al.	Williams et al.	Winkel et al.

 $\it Иримечание.\ ATII-$ азатиоприн; $\it KC-$ кортикостероиды; $\it JT-$ лучевая терапия; $\it HII-$ нет данных; $\it HTJIC-$ нейротрофические лекарственные средства; $\it IIDM-$ циклофосфамид.
Note. $\it NA-$ not available; $\it CP-$ cyclophosphamide; $\it CS-$ corticosteroids; $\it RT-$ radiotherapy; $\it NT$ drugs $\it -$ neurotropic drugs; $\it ATP-$ azathioprine.

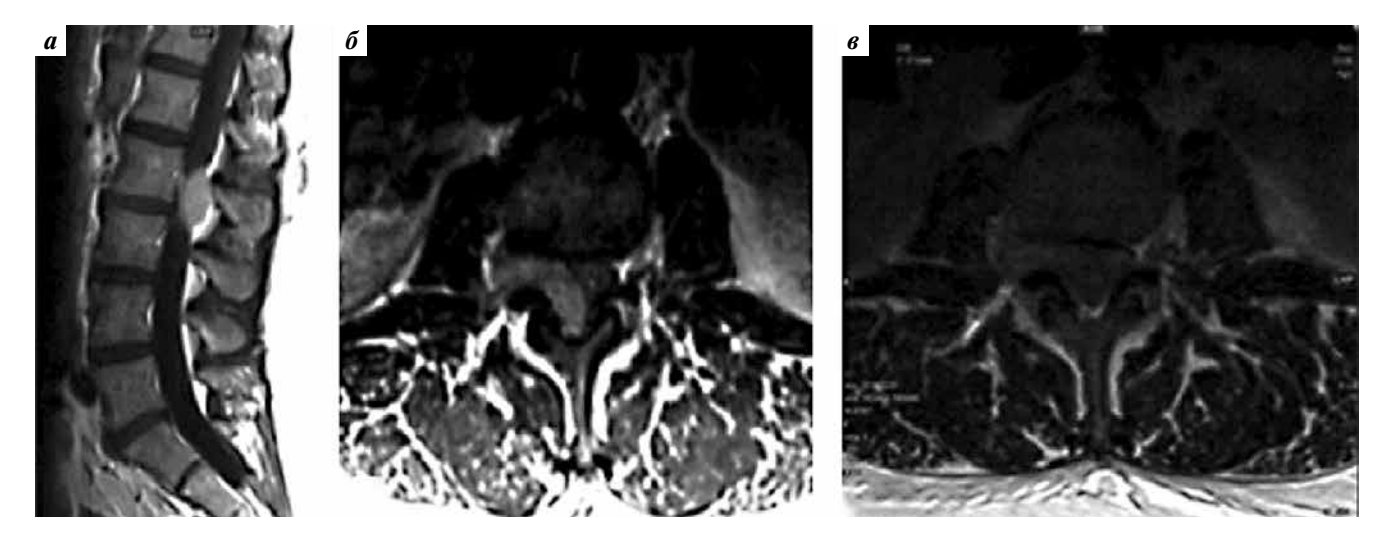


Рис. 4. Пример спинальной формы IgG4-ассоциированного пахименингита на уровне позвонков L_2 — L_3 (адаптировано из [48] с разрешения авторов). Представлены сагиттальное (a) и аксиальные (6, 6) изображения пояснично-крестцового отдела позвоночника в режиме T1 магнитно-резонансной томографии с контрастным усилением. На уровне позвонков L_2 — L_3 визуализируется утолщение задних отделов TMO с компрессией корешков (a). Визуализировано распространение процесса в правое форминальное отверстие с его значительным сужением (6). Видно значительное центральное сужение позвоночного канала вследствие патологического процесса (6)

Fig. 4. An example of spinal form of IgG4-related pachymeningitis at the L_2 - L_3 vertebral level (reproduced from [48] with permission of the authors). Sagittal (a) and axial (6, 6) T1-weighted contrast-enhanced magnetic resonance imaging scans of the lumbar spine. At the L_2 - L_3 vertebral level thickening of the posterior regions of the pachymeninx with radicular compression is visualized (a). Image (6) shows advancement of the process into the intervertebral foramen with its significant narrowing. Image (6) shows significant central narrowing of the spinal canal due to pathological process

изображениях) с активным гомогенным накоплением гадолиния [57].

В последние годы появились сообщения о применении новых методов диагностики церебральных форм IgG4-AC3. Так, высокий уровень специфичности показало применение позитронной эмиссионной томографии с ¹⁸F-фтордезоксиглюкозой [58]. Имеются данные о диагностической ценности оценки концентрации IgG4 в цереброспинальной жидкости [59].

IgG4-ассоциированное поражение оболочек спинного мозга (IgG4-ассоциированный спинальный пахименингит) считается самой редкой формой поражения структур центральной нервной системы. Среди публикаций за 2000—2017 г. в PubMed находится 13 публикаций, в которых описано лишь 15 подтвержденных случаев спинального поражения при IgG4-AC3 (табл. 4) [48], проявляющихся компрессией спинного мозга и/или его корешков (рис. 4, 5).

Проявления IgG4-ассоциированного поражения позвоночника развиваются в рамках IgG4-ассоциированного гипертрофического пахименингита, соответствующего по патогенезу и механизму развития церебральной форме заболевания. В большинстве случаев течение заболевания имеет псевдотуморозный характер и часто напоминает развитие лимфомы [60]. Диагностические критерии спинальной формы IgG4-AC3 включают описанные выше критерии [33]:

- обильная лимфоплазмоцитарная инфильтрация в области поражения (рис. 6);
- сториформный фиброз ткани мозговой оболочки;

облитерирующий флебит в зоне поражения и перифокальной области.

Дополнительными критериями являются [48, 60, 61]:





Рис. 5. Пример спинальной формы IgG4-ассоциированного пахименингита на уровне позвонков Th_{10} — Th_{12} (адаптировано из [66] с разрешения авторов). Представлены сагиттальные магнитно-резонансные томограммы грудного отдела позвоночника с контрастным усилением (гадолинием) пациента со спинальной формой IgG4-ассоциированного системного заболевания в режимах T1 (a) и T2 (б). Визуализировано значительное утолщение передней поверхности твердой мозговой оболочки на уровне поражения с сужением позвоночного канала, компрессией спинного мозга и активным гомогенным накоплением гадолиния в зоне поражения

Fig. 5. An example of spinal form of IgG4-related pachymeningitis at the Th_{10} - Th_{12} level (reproduced from [66] with permission of the authors). Sagittal contrast-enhanced T1-weighted (a) and T2-weighted (b) magnetic resonance imaging scans of the thoracic spine of a patient with IgG4-related disease. Significant thickening of the anterior surface of the pachymeninx at the affected level with narrowing of the spinal canal, compression of the spine and active homogenous gadolinium accumulation in the affected area are visualized

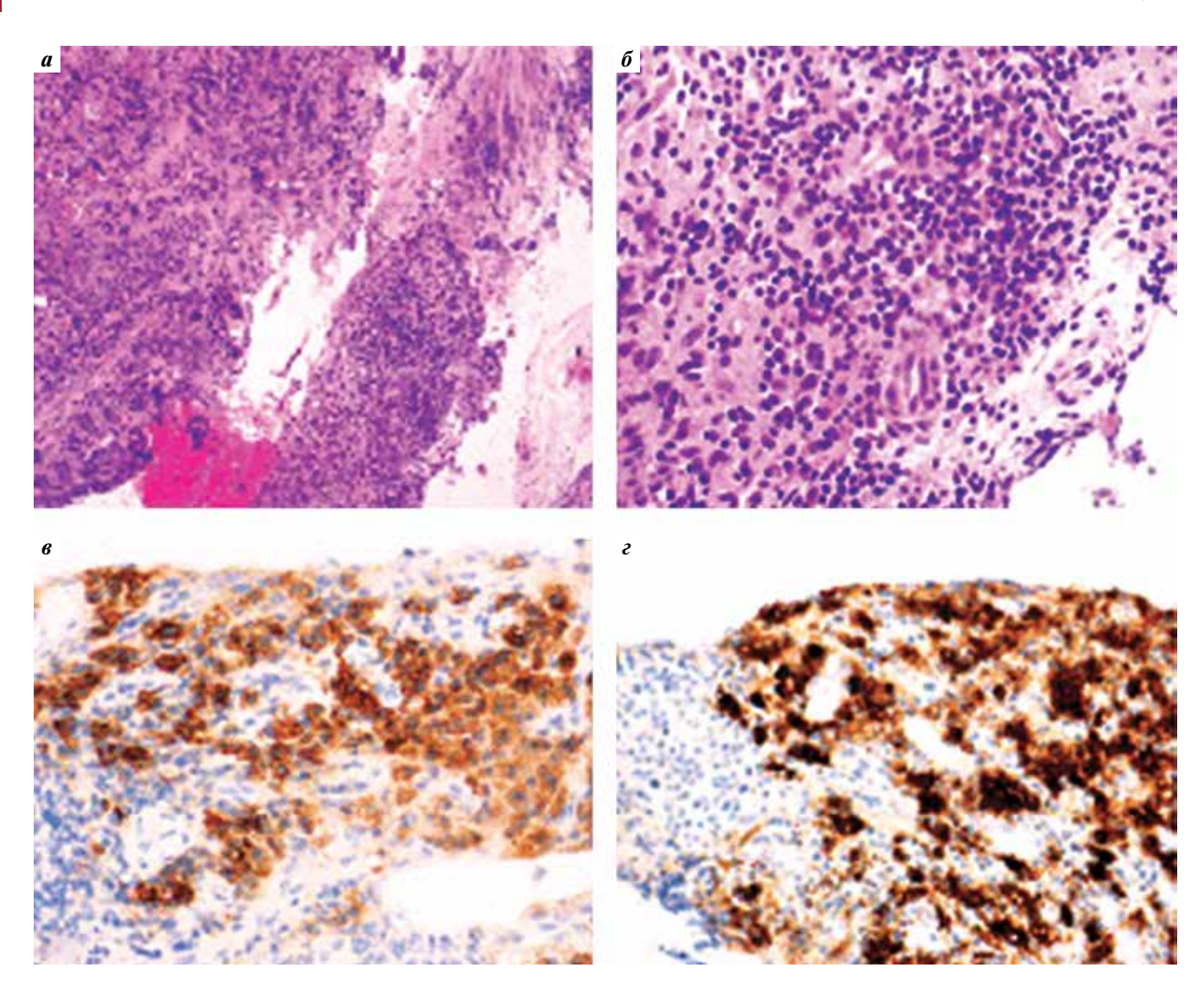


Рис. 6. Гистологический анализ удаленных фрагментов псевдоопухоли предыдущего пациента (адаптировано из [66] с разрешения авторов): а — обильная лимфоплазмацитарная инфильтрация с элементами фиброза. Признаки флебита отсутствуют. Окраска гематоксилином и эозином. ×40; 6 — то же при большем увеличении. Хроническая воспалительная инфильтрация. Окраска гематоксилином и эозином. ×400; в — иммуногистохимический анализ на наличие плазматических клеток (CD138⁺), содержащихся в большом количестве в инфильтрате; г — поле зрения при большом увеличении. Визуализируется более 50 IgG4⁺-клеток в поле зрения, что является одним из критериев IgG4-ассоциированного заболевания. ×400

Fig. 6. Histological analysis of the removed fragments of a pseudotumor removed from the previous patient (reproduced from [66] with permission of the authors): a-abundant lymphoplasmacytic infiltration with fibrosis elements. Signs of phlebitis are not evident. Hematoxylin-eosin staining. $\times 40$; 6- with larger magnification. Chronic inflammatory infiltration is visualized. Hematoxylin-eosin staining. $\times 400$; 6- immunohistochemical staining for plasma cells (CD138 $^+$) which are abundant in the infiltrate; e- the field of vision with high magnification. More than 50 IgG4 $^+$ plasma cells are visible in the field of vision which serves as a criterion for IgG4-related disease. $\times 400$

- наличие признаков поражения иных органов и тканей;
- соотношение IgG4+/IgG+ >40 %;
- инфильтрация области поражения большим количеством $IgG4^+$ -клеток;
- повышение концентрации IgG4 в сыворотке крови. При этом только у $22,2\,\%$ пациентов с подтвержденной спинальной формой IgG4-AC3 наблюдается повышение сывороточной концентрации IgG4 в крови. Кроме того, соотношение $IgG4^+/IgG^+>40\,\%$ также наблюдали только у $33,3\,\%$. Аналогичные показатели были подтверждены в работах Z. Lu и соавт. [62] и A. Kosakai

[63]. Таким образом, дополнительные критерии, такие как повышение концентрации IgG4 в крови и соотношения IgG4/IgG, далеко не всегда отражают наличие у пациента IgG4-AC3 и не могут являться решающими в его диагностике и выборе тактики лечения [48]. Основными критериями остаются описанные выше.

Лечение спинальной формы IgG4-AC3 включает операцию при наличии явной компрессии спинного мозга и/или его корешков и угрозе развития необратимого неврологического дефицита. Кроме того, в некоторых случаях пациентов с данным заболеванием врач принимает за пациентов с лимфомой или, реже,

спинальной менингиомой. В таких случаях лечение определяется соответствующими рекомендациями, а диагноз IgG4-AC3 часто устанавливают только после выполнения гистологического исследования удаленных фрагментов псевдоопухоли.

Обязательным компонентом как в предоперационном, так и в послеоперационном лечении IgG4-ассоциированного поражения оболочек спинного мозга, как и иных проявлений заболевания, являются кортикостероиды. Как видно из табл. 4, в некоторых случаях удалось добиться улучшения состояния пациента вплоть до полного регресса неврологического дефицита без хирургических вмешательств — только благодаря терапии кортикостероидами [64, 65]. Тем не менее

необходимость в хирургическом вмешательстве определяется степенью компрессии нервных структур и выраженностью неврологической симптоматики.

ЗАКЛЮЧЕНИЕ

IgG4-ассоциированное заболевание является недавно описанным заболеванием, характеризующимся поражением различных органов и тканей. Этиология и патогенез этого заболевания пока изучены недостаточно, многое остается непонятным. Тем не менее совершенствование методов диагностики и накопление знаний в этой области позволяет относить все большее количество случаев аутоиммунных процессов к этой нозологической группе.

ЛИТЕРАТУРА / REFERENCES

- 1. Буеверов А.О., Кучерявый Ю.А. IgG4-ассоциированная болезнь. М.: Форте Принт, 2014. 128 с. [Buyeverov A.O., Kucheryavy Yu.A. IgG4-associated disease. Moscow: Forte Print, 2014. 128 p. (In Russ.)].
- Okamoto T., Kamisawa A. Autoimmune pancreatitis: proposal of IgG4-related sclerosis disease. J Gastroenterol 2006;41:613–25.
- 3. Yamamoto M., Takahashi H., Ohara M. et al. A new conceptualization for Mikulicz's disease as an IgG4-related plasmacytic disease. Mod Rheumatol 2006;16(6):335–40.
- 4. Masaki Y., Dong L., Kurose N. et al. Proposal for a new clinical entity, IgG4-positive multi-organ lymphoproliferative syndrome: analysis of 64 cases of IgG4-related disorders. Ann Rheum Dis 2009;68(8):1310–5.
- Okazaki K., Uchida K., Ikeura T., Takaoka M. Current concept and diagnosis of IgG4-related disease in the hepato-bilio-pancreatic system.
 J Gastroenterol 2013;48(3):303–14.
- Mikulicz J. Uber eine eigenartige symmetrishe Erkrankung der Tranen und Mundspeicheldrusen. Stuttgart: Beitr z Chir Fesrschr f Theodor Billroth, 1892. Pp. 610–630.
- Küttner H. Über entzundiche Tumoren der Submanxillarspeicheldruse. Bruns Beitr Klin Chir 1896;(15):815–34.
- Thal A.P., Murray M.J., Egner W. Isoantibody formation in chronic pancreatic disease. Lancet 1959;1(7083):1128–9.
- Sarles H., Sarles J.C., Muratore R., Guien C. Chronic inflammatory sclerosis of the pancreas – an autonomous pancreatic disease? Am J Dig Dis 1961;6:688–98.
- Comings D.E., Skubi K.B., Ven Eyes J., Motulsky A.G. Familial multifocal

- fibrosclerosis. Ann Intern Med 1967;66:884–92.
- Waldram R., Kopelman H., Tsantoulas D., Williams R. Chronic pancreatitis, sclerosing cholangitis, and sicca complex in two siblings. Lancet 1975;1(7906):550–2.
- 12. Børkje B., Odegaard S., Vetvik K., Schrumpf E. Chronic pancreatitis associated with ulcerative colitis and sclerosing cholangitis. A case report. Tidsskr Nor Laegeforen 1984;104(8):585–7.
- 13. Montefusco P.P., Geiss A.C., Bronzo R.L. et al. Sclerosing cholangitis, chronic pancreatitis and Sjorgren's syndrome: a syndrome complex. Am J Surg 1984;147(6):822–6.
- 14. Versapuech J.M., Labayle D., Grange D. et al. Sclerosing cholangitis, chronic pancreatitis and Sjorgren's syndrome. Ann Med Interne (Paris) 1986;137(2):147–51.
- Sarles H. Classification and definition of pancreatitis. Marseilles-Rome 1988. Gastroenterol Clin Biol 1989;13(11):857–9.
- 16. Yoshida K., Toki F., Takeuchi T. et al. Chronic pancreatitis caused by an autoimmune abnormality. Proposal of the concept of autoimmune pancreatitis. Dig Dis Sci 1995;40:1561–8.
- 17. Маев И.В., Кучерявый Ю.А., Оганесян Т.С. Аутоиммунный панкреатит. Учебное пособие для врачей. М., 2011. 80 с. [Mayev I.V., Kucheryavy Yu.A., Oganesyan T.S. Autoimmune pancreatitis. Textbook. Moscow, 2011. 80 р. (In Russ.)].
- Etemad B., Whitcomb D.C. Chronic pancreatitis: diagnosis, classification and new genetic developments. Gastroenterol 2001;120:682-707.
- Hamano H., Kawa S., Horiuchi A. et al. High serum IgG4 concentrations in patients with sclerosing pancreatitis. N Engl J Med 2001;344(10):732–8.

- Kamisawa T., Funata N., Hayashi Y. et al. A new clinicopathological entity of IgG4-related autoimmune disease. J Gastroenterol 2003;38(10):982–4.
- Members of the Criteria Committee for Autoimmune Pancreatitis of the Japan Pancreas Society. Diagnostic criteria for autoimmune pancreatitis by the Japan Pancreas Society (2002). J Jpn Pancreas Soc (Suizou) 2002;17:585–7.
- Okazaki K., Kawa S., Kamisawa T. et al. Clinical diagnostic criteria of autoimmune pancreatitis: revised proposal. J Gastroenterol 2006;41:626–31.
- Chari S.T., Smyrk T.C., Levy M.J. et al. Diagnosis of autoimmune pancreatitis: the Mayo Clinic experience. Clin Gastroenterol Hepatol 2006;4:1010–6.
- Kim K., Kim M., Kim J. et al. Diagnostic criteria for autoimmune chronic pancreatitis revisited. Word J Gastroenterol 2006;12(16):2487

 –96.
- 25. Otsuki M., Chung J.B., Okazaki K. et al. Research Committee of Intractable Pancreatic Diseases provided by the Ministry of Health, Labour and Welfare of Japan and the Korean Society of Pancreatobiliary Diseases. Asian diagnostic criteria for autoimmune pancreatitis: consensus of the Japan-Korea Symposium on Autoimmune Pancreatitis. J Gastroenterol 2008;43(6):403–8.
- Frulloni L., Scattolini C., Falconi M. et al. Autoimmune pancreatitis: differences between the focal and diffuse forms in 87 patients. Am J Gastroenterol 2009;104(9):2288–94.
- 27. Yamashita H., Takahashi Y., Ishiura H. et al. Hypertrophic pachymeningitis and tracheobronchial stenosis in IgG4-related disease: case presentation and literature review. Intern Med 2012;51:935–41.

НЕЙРОХИРУРГИЯ TOM 22 Volume 22

- Winkel M., Lawton C.D., Sanusi O.R. et al. Neuro-surgical considerations for tereating IgG4-related disease with rare spinal epidural compression. Surg Neurol Int 2018;9:209.
- Wong S., Lam W.Y., Wong W.K., Lee K.C. Hypophysitis presented as inflammatory pseudotumor in immunoglobulin G4-related systemic disease. Hum Pathol 2007;38:1720–3.
- Okamoto T., Kamisawa A. Autoimmune pancreatitis: proposal of IgG4-related sclerosing disease. J Gastroenterol 2006;41:613–25.
- Yamamoto M., Takahashi H., Ohara M. et al. A new conceptualization for Mikulicz's disease as an IgG4-related plasmacytic disease. Mod Rheumatol 2006;16:335–40.
- 32. Masaki Y., Dong L., Kurose N. et al. Proposal for a new clinical entity, IgG4-positive multi-organ lymphoproliferative syndrome: analysis of 64 cases of IgG4-related disorders. Ann Rheum Dis 2009;68:1310–5.
- Deshpande V., Zen Y., Chan J.K. et al. Consensus statement on the pathology of IgG4-related disease. Mod Pathol 2012;25(9):1181–92.
- 34. Stone J.H., Khosroshahi A., Deshpande V. et al. Recommendations for the nomenclature of IgG4-related disease and its individual organ system manifestations. Arthr Rheum 2012;64(10):3061–7.
- Okazaki K., Kawa S., Kamisawa T. et al. Japanese clinical guidelines for autoimmune pancreatitis. Pancreas 2009;3:849–66.
- 36. Zen Y., Nakanuma Y. Pathogenesis of IgG4-related disease. Curr Opin Rheumatol 2011;23:114–8.
- 37. Aalberse R.C., Stapel S.O., Schuurmann J., Rispens T. Immunoglobulin G4: an odd antibody. Clin Exp Allergy 2009;396:469–77.
- Okazaki K., Uchida K., Ohana M. et al. Autoimmune-related pancreatitis is associated with autoantibodies and a Th1/Th2-type cellular immune response. Gastroenterol 2000;118:573–81.
- 39. Pezzilli R., Corinaldesi R. IgG4 as a serological marker of autoimmune pancreatitis: the latest news. JOP 2004;5(6):531–3.
- Mihai S., Chiriac M.T., Herrero-Gonzalez J.E. IgG4 autoantibodies induce dermal-epidermal separation. J Cell Mol Med 2007;11:1117–28.

- 41. Umehara H., Okazaki K., Masaki Y. et al. Comprehensive diagnostic criteria for IgG4-related disease (IgG4-RD), 2011. Mod Rheumatol 2012;22(1):21–30.
- 42. Strehl J.D., Hartmann A., Agaimy A. Numerous IgG4-positive plasma cells are ubiquitous in diverse localised nonspecific chronic inflammatory conditions and need to be distinguished from IgG4-related systemic disorders. J Clin Pathol 2011;64(3):237–43.
- 43. Schneider A., Luhr J.M. Autoimmune pancreatitis. Internist (Berl) 2009;50:318–30.
- 44. Chari S.T., Kloeppel G., Zhang L. et al. Histopathologic and clinical subtypes of autoimmune pancreatitis: the Honolulu consensus document. Pancreas 2010:39:549–54.
- 45. Shimosegawa T., Chari S.T., Frulloni L. et al. International consensus diagnostic criteria for autoimmune pancreatitis: Guidelines of the International Association of Pancreatology. Pancreas 2011;40(3):352–8.
- 46. The Japan Pancreas Society, the Ministry of Health and Welfare Investigation Research Team for Intractable Pancreatic Disease. Clinical Diagnostic for Autoimmune Pancreatitis 2011 (Proposal). J Jpn Pancreas (Suizo) 2012;27:17–25.
- 47. Буеверов А.О., Драпкина О.М. IgG4-ассоциированное системное заболевание. Российские медицинские вести 2014;19(3):4—15.
- 48. Winkel M., Lawton C.D., Sanusi O.R. et al. Neuro-surgical considerations for treating IgG4-related disease with rare spinal epidural compression. Surg Neurol Int 2018;9:1–5.
- Uccella S., Amaglio C., Brouland J.-P. et al. Disease heterogeneity in IgG4related hypophysitis: report of two histopathologically proven cases and review of the literature. Virchows Arch 2019 March 25:1–9.
- Rotondo F., Quaddoura A., Syro L.V. et al. Immunoglobulin G4 (IgG4)-related hypophysitis. Endocr Pathol 2017 January 13:1–7.
- Leporati P., Landek-Salgado M.A., Lupi I. et al. IgG4-related hypophysitis: a new addition to the hypophysitis spectrum.
 J Clin Endocrinol Metab 2011;96:1971–80.
- 52. Varrassi M., Gianneramo C., Arrigoni F. et al. Neurological involvement of IgG4-related disease: description of a case and review of the literature. Neuroradiol J 2017;1:1–7.

- Goulam-Houssein S., Grenville J.L., Mastrocostas K. et al. IgG4-related intracranial disease. Neuroradiol J 2019;32(1):1–7.
- 54. Mehta S.H., Switzer J.A., Biddinger P., Rojiani A.M. IgG4-related leptomeningitis: a reversible cause of rapidly progressive cognitive decline. Neurology 2014;82:540–2.
- 55. Parney I.F., Johnson E.S., Allen P.B. "Idiopathic" cranial hypertrophic pachymeningitis responsive to antituberculous therapy: case report. Neurosurgery 1997;141:965–71.
- 56. Hamano H., Kawa S., Horiuchi A. et al. High serum IgG4 concentrations in patients with sclerosing pancreatitis. N Engl J Med 2001;344:732–38.
- Joshi D., Jager R., Hurel S. et al. Cerebral involvement in IgG4-related disease. Clin Med (Lond) 2015;15:130–4.
- 58. Vauchot F., Bourdon A., Hay B. et al. Therapeutic response to Rituximab in IgG4-related hypophysitis evidenced on 18F-FDG PET and MRI. Clin Nucl Med 2019;44(5):e362–3.
- 59. Fernandez-Codina A., Hernandez-Gonzalez M., Solans-Laque R. et al. Alteration of IgG4 levels in cerebrospinal fluid in IgG4-related disease. Int J of Rheum Dis 2017;20:1865–7.
- Stone J.H., Zen Y., Deshpande V. IgG4-relted disease. N Engl J Med 2012;366:539–51.
- Lindstrom K.M., Cousar J.B., Lopes M.B. IgG4-related meningeal disease: clinicopathological and proposal for diagnostic criteria. Acta Neuropathol 2010;120:765–76.
- Lu Z., Tongxi L., Jie L. et al. IgG4-related spinal pachymeningitis. Clin Rheumatol 2016;35:1549–53.
- 63. Kosakai A., Ito D., Yamada S. et al. A case of definite IgG4-related pachymeningitis. Neurology 2010;75:1390–2.
- 64. Tajima Y., Mito Y. Cranial neuropathy because of IgG4-related pachymeningitis; intracranial and spinal mass lesions. BMJ Case Rep 2012;2012:bcr2012006471.
- 65. Radotra B.D., Aggarwal A., Kapoor A. et al. An orphan disease: IgG4-related spinal pachymeningitis: reports of 2 cases. J Neurosurg Spine 2016;25:790–4.
- 66. Ferreira N.R., Vaz R., Carmona S. et al. IgG4-related disease presenting with an epidural inflammatory pseudotumor: a case report. J Med Case Rep 2016;10(61):e1–6.

Вклад авторов

В.А. Смирнов: формирование научного задания, планирование обзорного исследования, поиск научной литературы, анализ источников, написание текста статьи;

А.А. Гринь: формирование научного задания, планирование обзорного исследования, поиск научной литературы, руководство написанием текста статьи.

Authors' contributions

V.A. Smirnov: forming a scientific goal, planning a study, searching for scientific literature, analysis of the data, article writing;

A.A. Grin: forming a scientific goal, planning a study, searching for literature, supervising.

ORCID авторов / ORCID of authors

B.A. Смирнов / V.A. Smirnov: https://orcid.org/0000-0003-4096-1087 A.A. Гринь / А.A. Grin: https://orcid.org/0000-0003-3515-8329

Конфликт интересов. Авторы заявляют об отсутствии конфликта интересов.

Conflict of interest. The authors declare no conflict of interest.

Финансирование. Исследование проведено без спонсорской поддержки.

Financing. The study was performed without external funding.